

Fig. 3

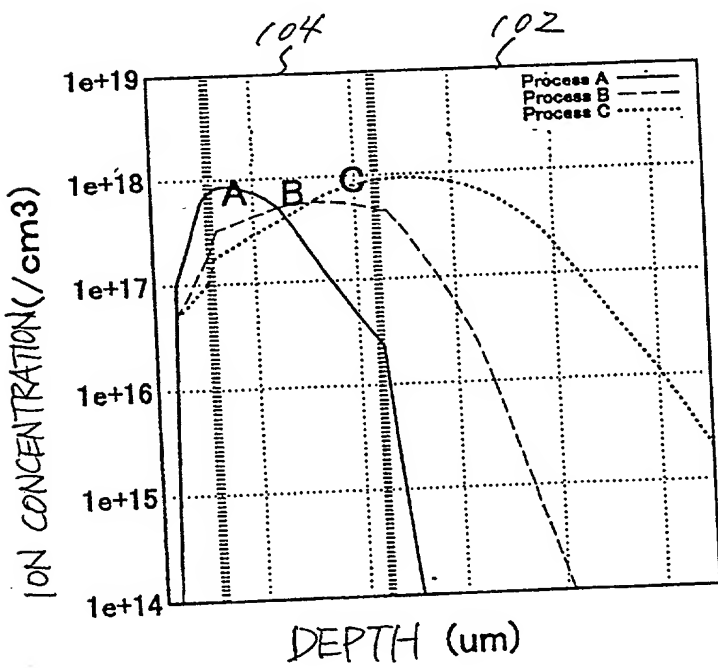


Fig. 4

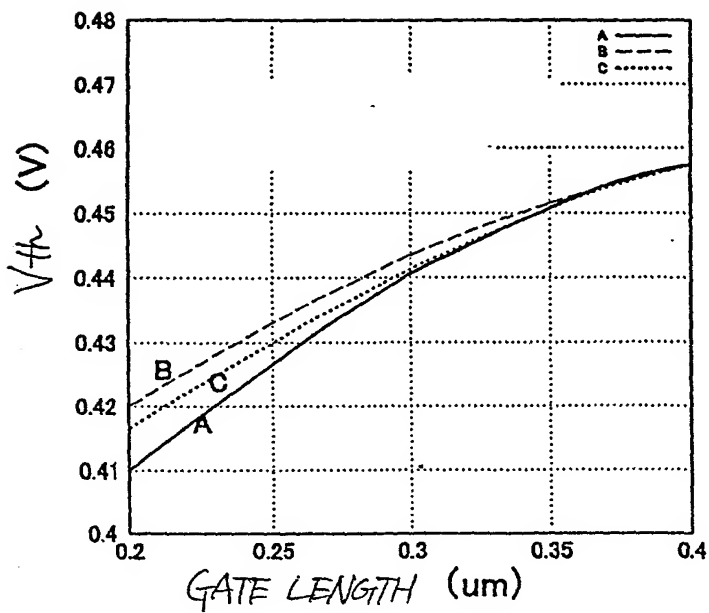


Fig-5

Fig. 6(a)

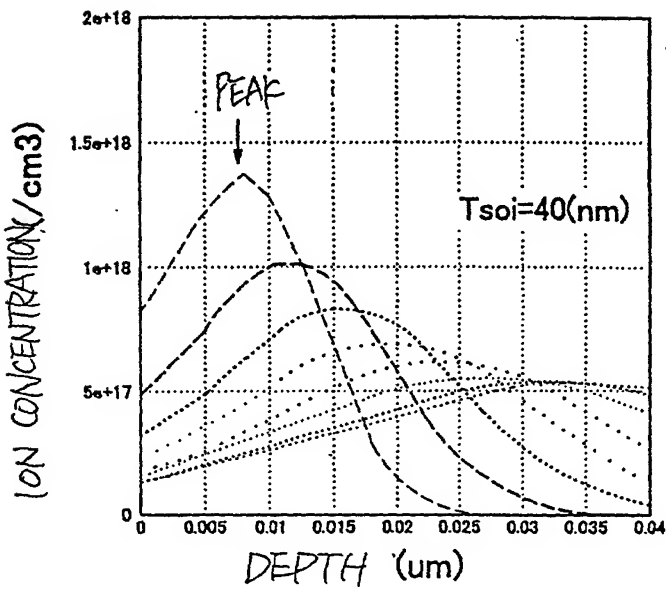
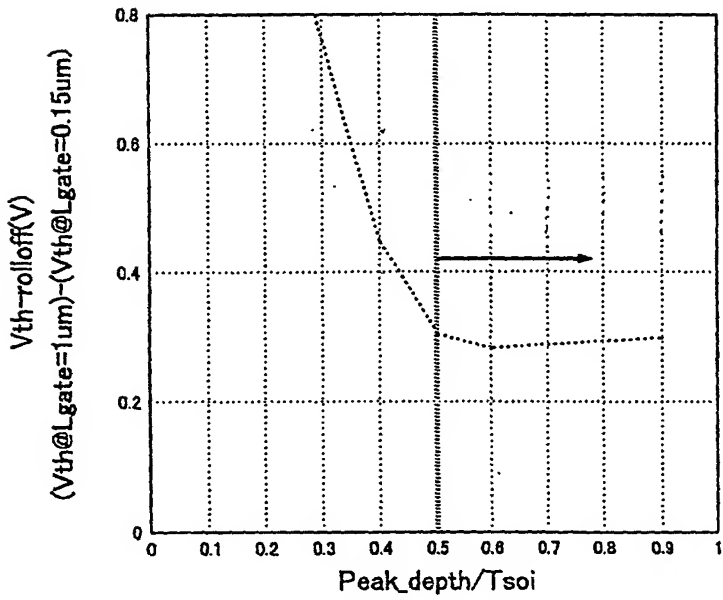


Fig. 6(b)



20806656007

Fig. 7(a) Y[um]

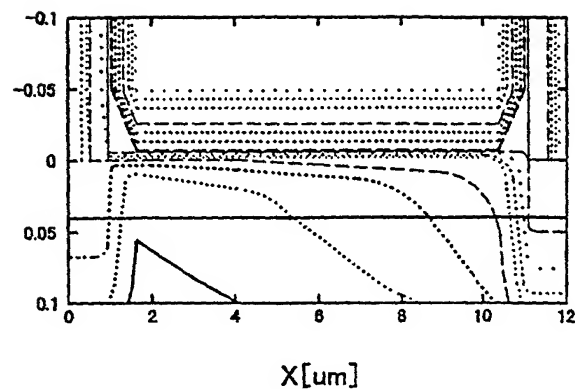
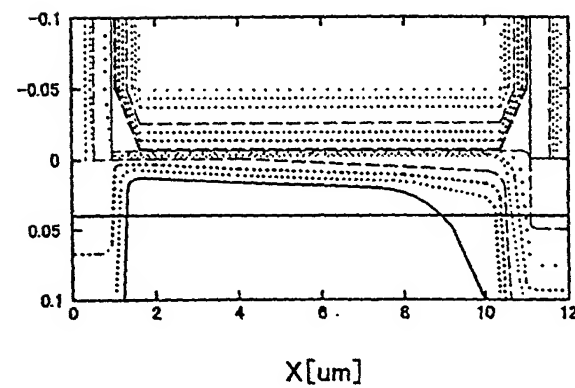
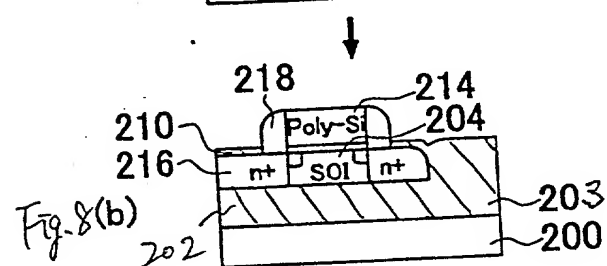
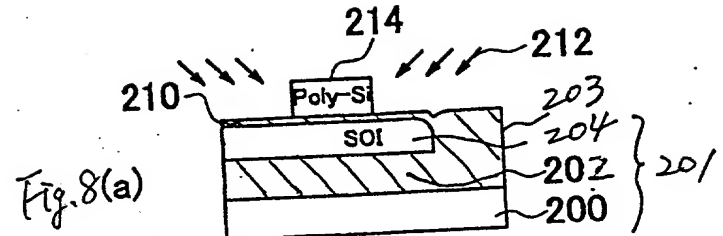
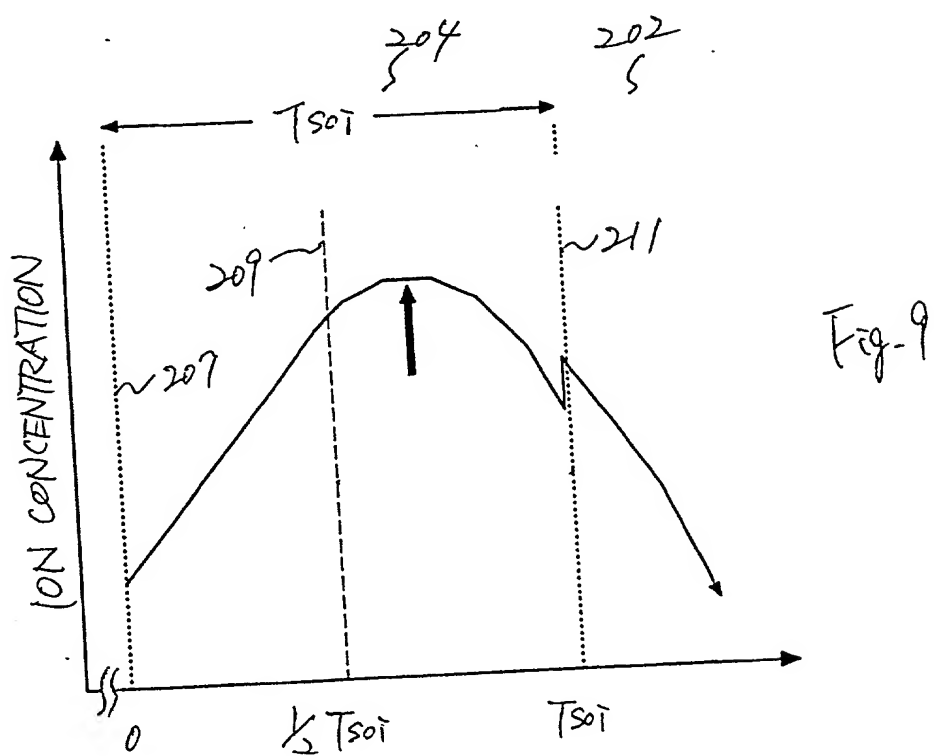


Fig. 7(b) Y[um]





PREDICTED DIFFUSION PROFILE



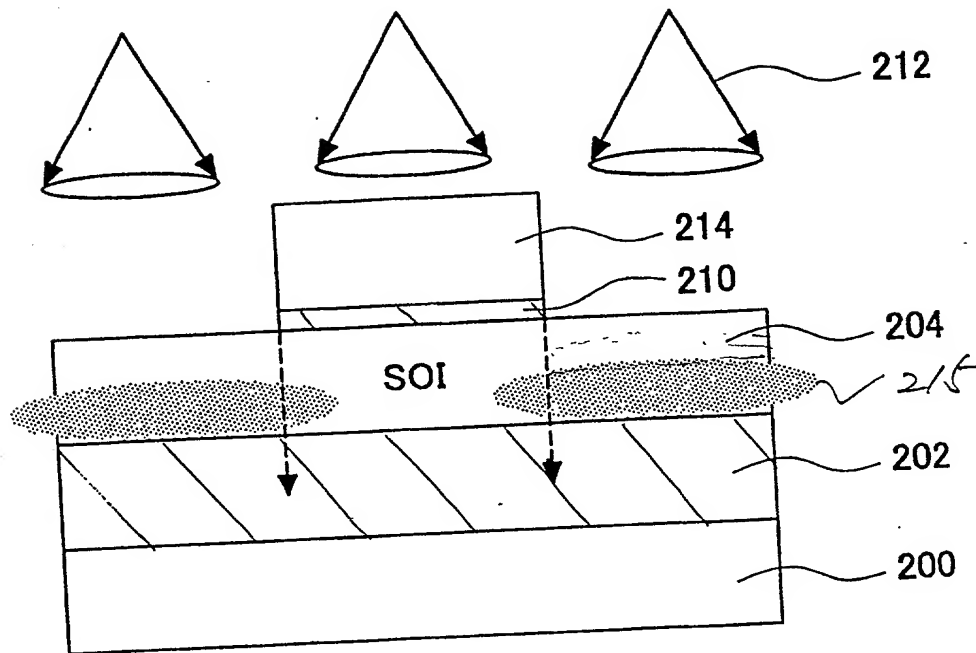


Fig-10

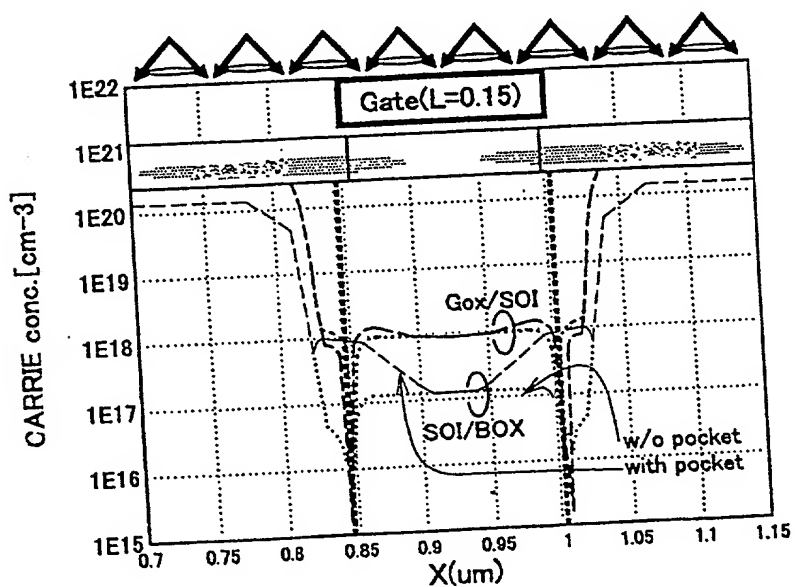


Fig-11

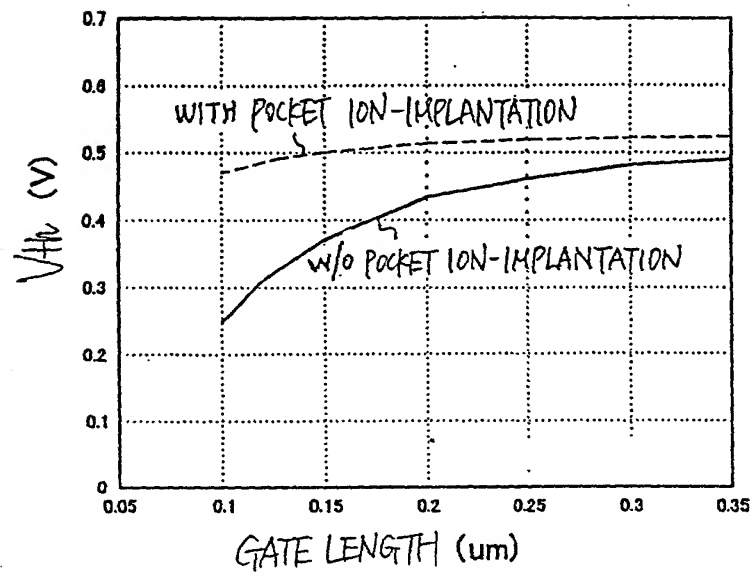
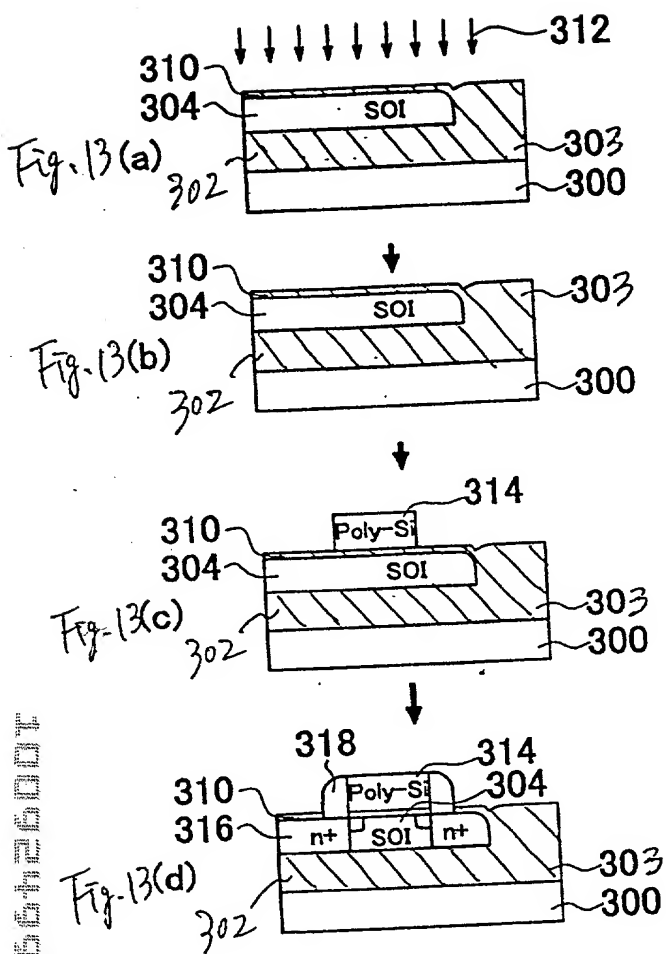


Fig-12



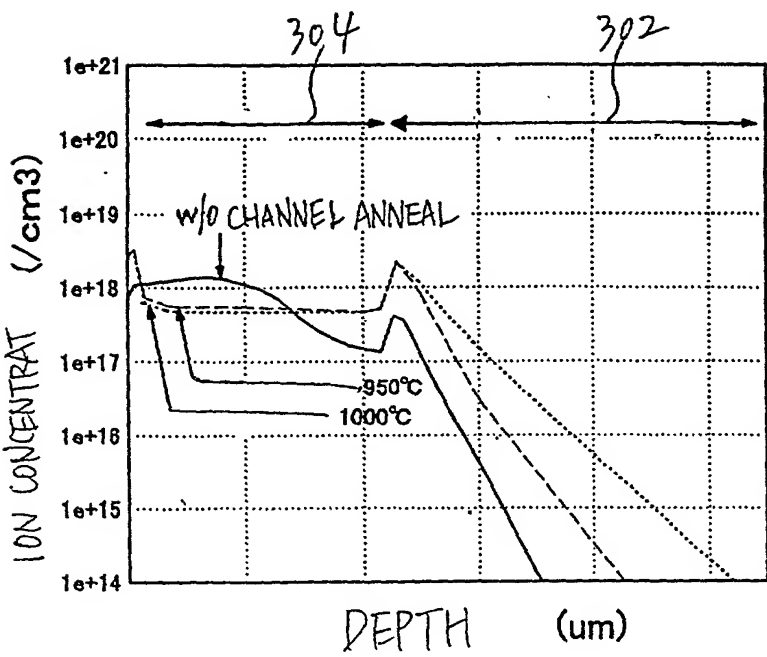


Fig. 14

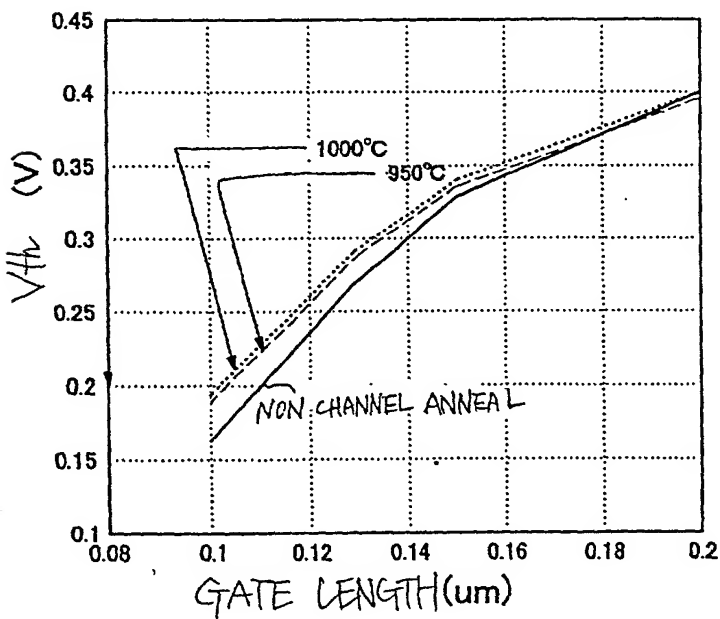
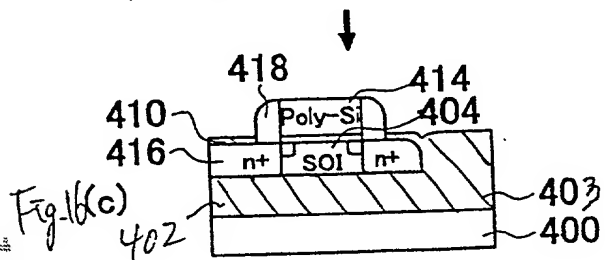
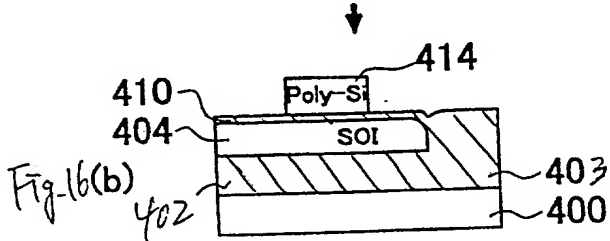
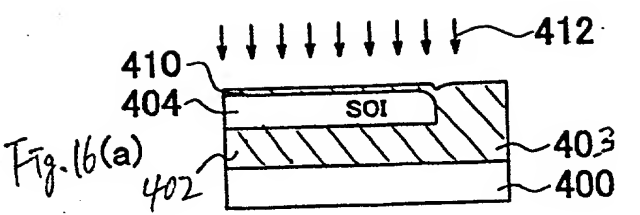
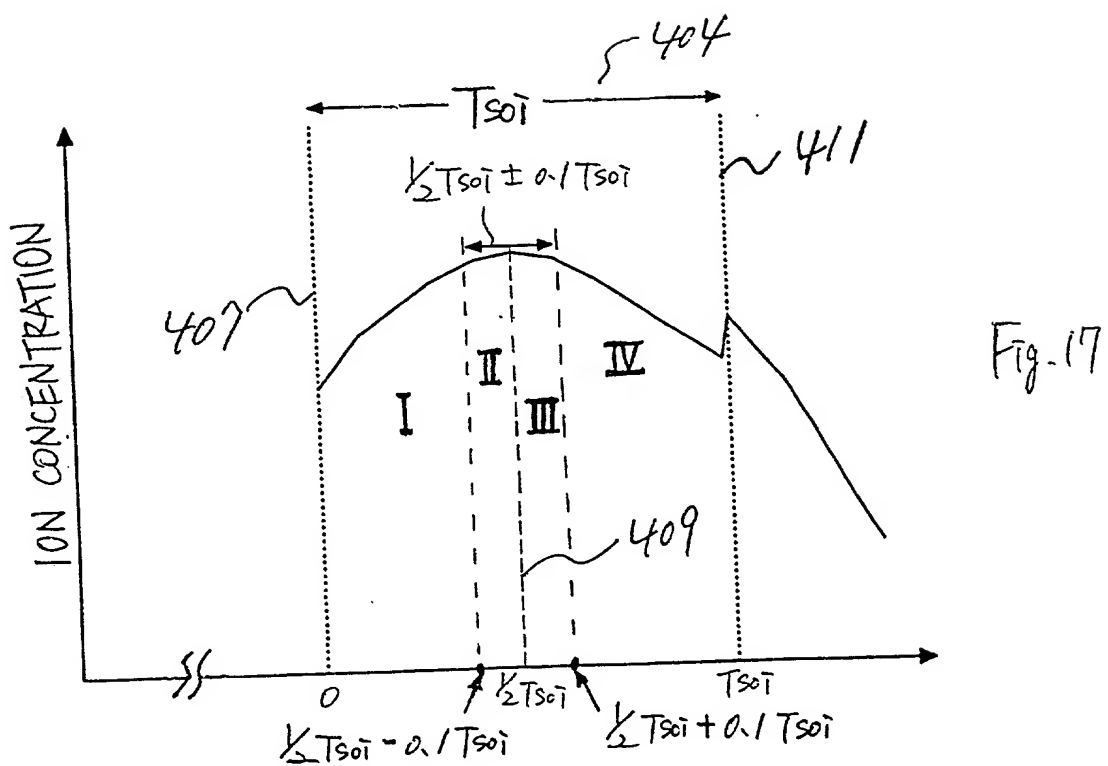


Fig. 15



PROCESSED - FABRICATED NOT



CHARGE-BARRIER

Fig.-18(a)

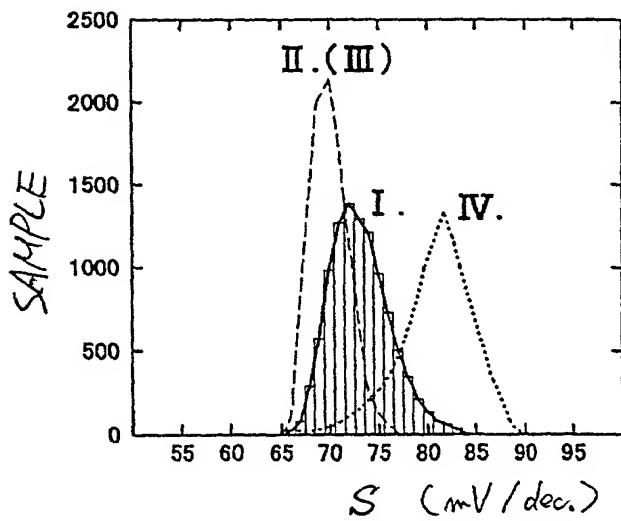
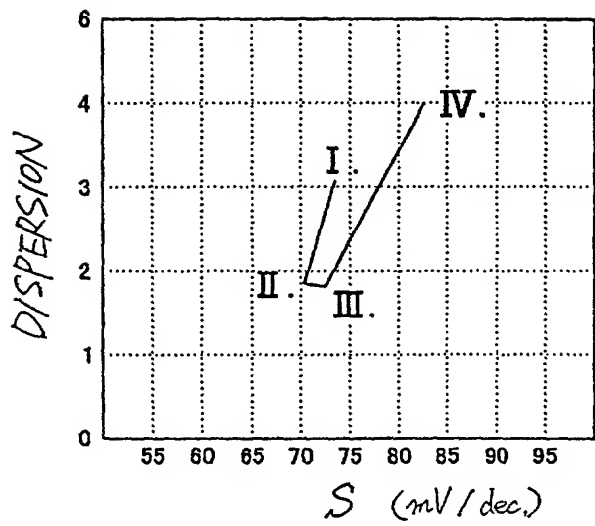


Fig.-18(b)

Fig.19(a)

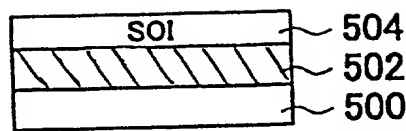


Fig.19(b)

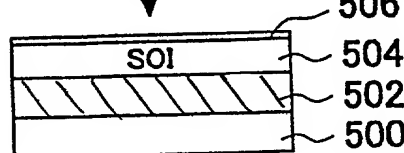


Fig.19(c)

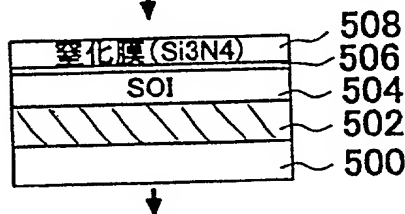


Fig.19(d)

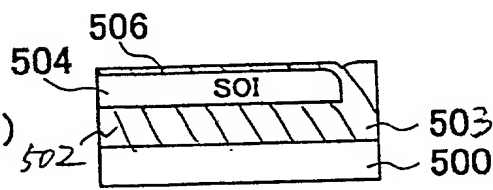


Fig.19(e)

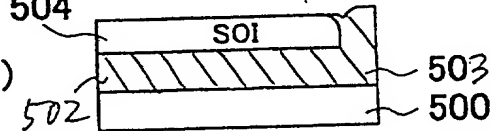
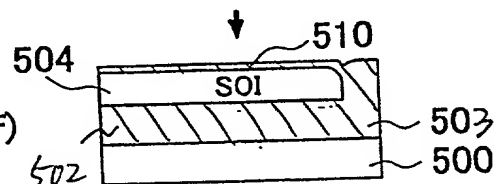
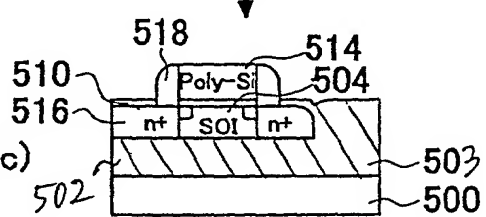
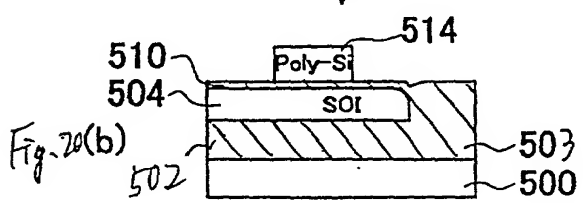
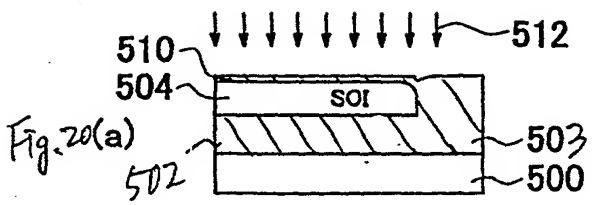


Fig.19(f)





TOP GATE = 15.61E-009 M
GATE OXIDE = 1.67E-009 M

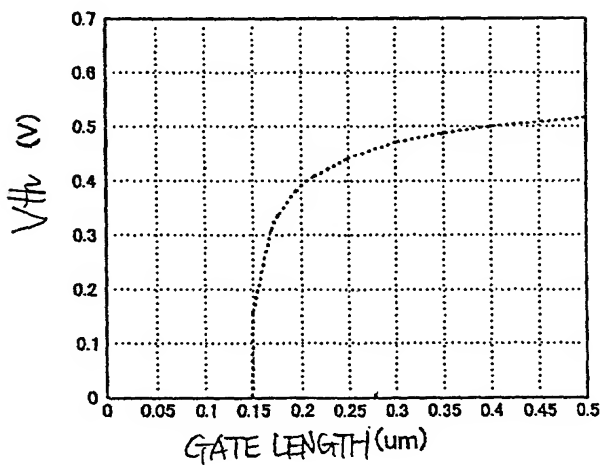


Fig. 21

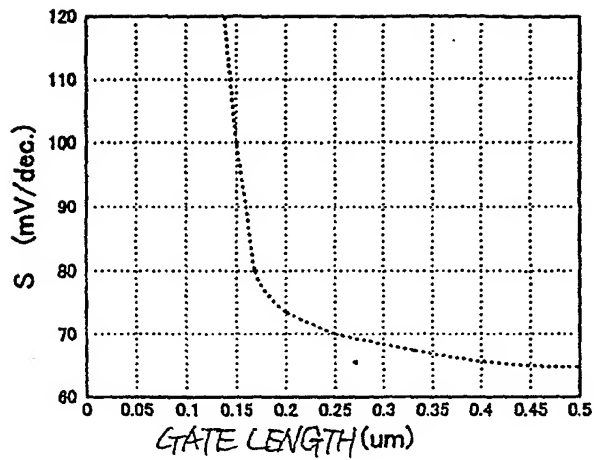


Fig-22

1.0E+06 5.0E+05 1.0E+05 5.0E+04 1.0E+04 5.0E+03 1.0E+03 5.0E+02 1.0E+02 5.0E+01 1.0E+01 5.0E+00 1.0E+00 5.0E-01 1.0E-01 5.0E-02 1.0E-02 5.0E-03 1.0E-03 5.0E-04 1.0E-04 5.0E-05 1.0E-05 5.0E-06 1.0E-06 5.0E-07 1.0E-07 5.0E-08 1.0E-08 5.0E-09 1.0E-09 5.0E-10 1.0E-10 5.0E-11 1.0E-11 5.0E-12 1.0E-12 5.0E-13 1.0E-13 5.0E-14 1.0E-14 5.0E-15 1.0E-15 5.0E-16 1.0E-16 5.0E-17 1.0E-17 5.0E-18 1.0E-18 5.0E-19 1.0E-19 5.0E-20 1.0E-20 5.0E-21 1.0E-21 5.0E-22 1.0E-22 5.0E-23 1.0E-23 5.0E-24 1.0E-24 5.0E-25 1.0E-25 5.0E-26 1.0E-26 5.0E-27 1.0E-27 5.0E-28 1.0E-28 5.0E-29 1.0E-29 5.0E-30 1.0E-30 5.0E-31 1.0E-31 5.0E-32 1.0E-32 5.0E-33 1.0E-33 5.0E-34 1.0E-34 5.0E-35 1.0E-35 5.0E-36 1.0E-36 5.0E-37 1.0E-37 5.0E-38 1.0E-38 5.0E-39 1.0E-39 5.0E-40 1.0E-40 5.0E-41 1.0E-41 5.0E-42 1.0E-42 5.0E-43 1.0E-43 5.0E-44 1.0E-44 5.0E-45 1.0E-45 5.0E-46 1.0E-46 5.0E-47 1.0E-47 5.0E-48 1.0E-48 5.0E-49 1.0E-49 5.0E-50 1.0E-50 5.0E-51 1.0E-51 5.0E-52 1.0E-52 5.0E-53 1.0E-53 5.0E-54 1.0E-54 5.0E-55 1.0E-55 5.0E-56 1.0E-56 5.0E-57 1.0E-57 5.0E-58 1.0E-58 5.0E-59 1.0E-59 5.0E-60 1.0E-60 5.0E-61 1.0E-61 5.0E-62 1.0E-62 5.0E-63 1.0E-63 5.0E-64 1.0E-64 5.0E-65 1.0E-65 5.0E-66 1.0E-66 5.0E-67 1.0E-67 5.0E-68 1.0E-68 5.0E-69 1.0E-69 5.0E-70 1.0E-70 5.0E-71 1.0E-71 5.0E-72 1.0E-72 5.0E-73 1.0E-73 5.0E-74 1.0E-74 5.0E-75 1.0E-75 5.0E-76 1.0E-76 5.0E-77 1.0E-77 5.0E-78 1.0E-78 5.0E-79 1.0E-79 5.0E-80 1.0E-80 5.0E-81 1.0E-81 5.0E-82 1.0E-82 5.0E-83 1.0E-83 5.0E-84 1.0E-84 5.0E-85 1.0E-85 5.0E-86 1.0E-86 5.0E-87 1.0E-87 5.0E-88 1.0E-88 5.0E-89 1.0E-89 5.0E-90 1.0E-90 5.0E-91 1.0E-91 5.0E-92 1.0E-92 5.0E-93 1.0E-93 5.0E-94 1.0E-94 5.0E-95 1.0E-95 5.0E-96 1.0E-96 5.0E-97 1.0E-97 5.0E-98 1.0E-98 5.0E-99 1.0E-99 5.0E-100 1.0E-100

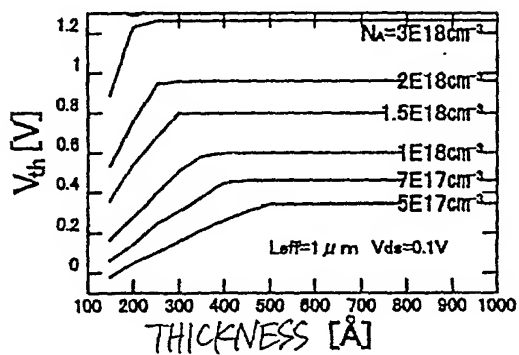


Fig-23(b)

